

І.В.СТАРОВОЙТЕНКО

ПЛАСТИНКА З ПІДКРІПЛЕНОЮ КРУГОВОЮ ГРАНИЦЕЮ
ПІД ДІЄЮ ЗОСЕРЕДЖЕНИХ СИЛ І МОМЕНТІВ¹⁾

Розглядається узагальнений плоский напруженний стан ізотропної пластиинки сталої товщини, круговий край якої підкріплено тонким пружним ребром з постійними жорсткостями на розтяг та згин. Розв'язок задачі дается для круглого диска радіуса R . Аналогічно, без суттєвих змін, розв'язується і задача про дією зосереджених сил і моментів на безмежну пластиинку з підкріпленим круговим отвором.

Нехай в точках $X_j = R\zeta_j$ та $X_k = R\zeta_k$ диска прикладено відповідно зосереджені сили $P_j^*(X_j, Y_j)$ і моменти M_k^* ($j = 1, 2, \dots, n$; $k = 1, 2, \dots, m$). На ребро діє довільне навантаження. Аналогічно роботі [4], в якій розглядається менш загальний випадок навантаження, та використовуючи відоме вображення комплексних потенціалів Колосова-Мусхелішвілі $\Psi(\zeta) + \bar{\Psi}(\zeta)$ (див. [3], формули (3), (5), стор. 198) і граничні умови (1), (2) роботи [4], зводимо задачу до системи диференціальних рівнянь на комплексній площині:

$$\begin{aligned} & \delta_2 \zeta^2 \Phi_{20}''(\zeta) + (\delta_1 + \delta_2) \zeta \Phi_{20}'(\zeta) + (1 - \delta_1 - \delta_2) \Phi_{20}(\zeta) - \delta_2 \alpha \zeta \Phi_{10}''(\zeta) + \\ & + \alpha (\delta_1 + \delta_2) \Phi_{10}'(\zeta) + \frac{f}{\zeta} \Phi_{10}(\zeta) = f_{11}(\zeta); \\ & \delta_1 \zeta^2 \Phi_{20}''(\zeta) + \zeta \Phi_{20}'(\zeta) - \Phi_{20}(\zeta) + \delta_1 \alpha \zeta \Phi_{10}''(\zeta) + \Phi_{10}''(\zeta) = f_{21}(\zeta), \end{aligned} \quad (1)$$

¹⁾ Робота виконана під керівництвом проф. Н.П.Флєшмана.

$$\begin{aligned}
 & \text{de} \quad f_{z_1}(s) = -\frac{1}{\pi i} \int \frac{f_i(\delta)}{\delta-s} d\delta + \sum_{j=1}^n \frac{X_j + iY_j}{2\pi(1+\alpha e)} \left[\bar{s}_j + \frac{\alpha \bar{s}_j}{1-s \bar{s}_j} - \frac{\delta_1 \alpha e s \bar{s}_j^2}{(1-s \bar{s}_j)^2} \right] - \\
 & - \sum_{j=1}^n \frac{X_j - iY_j}{2\pi(1+\alpha e)} \left[\alpha e (1+\delta_1) s + \alpha e \bar{s}_j + \frac{s}{1-s \bar{s}_j} - \frac{1-\bar{s}_j \bar{s}_j + \delta_1 \alpha e}{(1-s \bar{s}_j)^2} \cdot s + \right. \\
 & \left. + \frac{2\delta_1 (1-s \bar{s}_j)}{(1-s \bar{s}_j)^3} \cdot s \right] + \sum_{k=1}^m \frac{iM_k}{2\pi} \left[\frac{2-s \bar{s}_k}{1-s \bar{s}_k} + \frac{s \bar{s}_k}{(1-s \bar{s}_k)^2} - \frac{2\delta_1 \bar{s}_k s}{(1-s \bar{s}_k)^3} \right], \tag{2}
 \end{aligned}$$

$$\begin{aligned}
 f_{z_1}(s) &= b_0 \left[-2 + (\delta_1 + \delta_2)(1-\alpha e) \right] + \frac{1}{\pi i} \int \frac{f_i(\delta) d\delta}{\delta-s} - \\
 &- \frac{1}{2\pi(1+\alpha e)} \sum_{j=1}^n (X_j + iY_j) \left\{ (1-\delta_1 - \delta_2) \bar{s}_j - \frac{\alpha e + 1}{s} \ln \frac{s - \bar{s}_j}{\delta_1} + \frac{\alpha e \ln(1-s \bar{s}_j)}{s} \right. \\
 &+ \left. \frac{\alpha e (\delta_1 + \delta_2) \bar{s}_j}{1-s \bar{s}_j} - \frac{\delta_2 \alpha e s \bar{s}_j^2}{(1-s \bar{s}_j)^2} \right\} - \frac{1}{2\pi(1+\alpha e)} \sum_{j=1}^n (X_j - iY_j) \left\{ [(\alpha e + 1) \ln(\bar{s}_j - s) - \right. \\
 &\left. - \ln(1-s \bar{s}_j) + (\alpha e + 1) C_2 + \alpha e (\delta_1 + 2\delta_2)] \cdot s + (\alpha e + 1) C_1 + \alpha e (\delta_1 + \delta_2 - 1) \bar{s}_j + \right. \\
 &+ \left. \frac{(1-\delta_1 - \delta_2)(s - \bar{s}_j)}{1-s \bar{s}_j} - \frac{\alpha e (\delta_1 + \delta_2) s}{1-s \bar{s}_j} + [(1-\delta_1 - \delta_2)(1-s \bar{s}_j) - \alpha \delta_2] \frac{s}{(1-s \bar{s}_j)^2} - \right. \\
 &\left. - \frac{2\delta_2 (1-s \bar{s}_j) s}{(1-s \bar{s}_j)^3} \right\} - \frac{i}{2\pi} \sum_{k=1}^m M_k \left[1 - \delta_1 - \delta_2 - \frac{1-\delta_1-\delta_2}{1-s \bar{s}_k} + \frac{(\delta_1 + \delta_2) \bar{s}_k s}{(1-s \bar{s}_k)^2} - \frac{2\delta_2 \bar{s}_k s}{(1-s \bar{s}_k)^3} \right];
 \end{aligned}$$

$$\begin{aligned}
 b_0 &= \frac{1}{2[2+(\alpha e - 1)(\delta_1 + \delta_2)]} \left\{ \frac{1}{\pi i} \int \frac{f_i(\delta) d\delta}{\delta} - \frac{1}{2\pi(1+\alpha e)} \left[\sum_{j=1}^n (X_j + iY_j) [(1-\alpha e) \bar{s}_j + \right. \right. \\
 &+ \left. \left. \frac{\alpha e + 1}{\bar{s}_j} + (\alpha e - 1)(\delta_1 + \delta_2) \bar{s}_j] + \sum_{j=1}^n (X_j - iY_j) [(\alpha e + 1) \bar{s}_j + (1-\alpha e) s_j + (\alpha e - 1)(\delta_1 + \delta_2) \bar{s}_j] \right] \right\},
 \end{aligned}$$

Тут C_1 - довільна комплексна стала; δ_i - довільна точка одиничного кола Γ площини $\zeta = z/R$; $X_i = X_i^*/h$, $Y_i = Y_i^*/h$, $M_i = M_i^*/h$; інші позначення ті ж, що й в роботі [4].

Розв'язок системи (1), тобто функцій $\varphi_{10}(\zeta)$ і $\varphi_{20}(\zeta)$, виражається в квадратурах за формулами (23) роботи [4], в яких праві частини $f_{11}(\zeta)$, $f_{21}(\zeta)$ визначаються формулами (2).

У частковому випадку, коли до диска прикладено лише дві зосереджені сили: $(-P_i, 0)$ в центрі диска та $(P_i, 0)$ в точці $z_o = R\zeta_o$ на дійсній осі, маємо:

$$\begin{aligned} f_{11}(\zeta) &= -\frac{\rho}{2\pi(1+\alpha)} \left\{ \left(\frac{\alpha}{\zeta} - 1 \right) \ln(1-\zeta\zeta_o) + \left[1 - 2\delta_i + \alpha(\delta_i + 2\delta_e) \right] \zeta + \right. \\ &\quad \left. + \frac{(\zeta_o - \zeta)[(\delta_i + \delta_e)(\alpha - 1) + 1]}{1 - \zeta\zeta_o} + \frac{(\delta_i + \delta_e)(1 - \zeta_o^2)\zeta - \alpha\delta_e(1 + \zeta_o^2)\zeta}{(1 - \zeta\zeta_o)^2} - \frac{2\delta_e(1 - \zeta_o^2)/\zeta}{(1 - \zeta\zeta_o)^3} \right\}; \\ f_{21}(\zeta) &= \frac{\rho}{2\pi(1+\alpha)} \left[(2\delta_i - \delta_i\alpha - 1)\zeta - (\alpha - 1)\zeta_o + \frac{(\alpha - 1)\zeta_o}{1 - \zeta\zeta_o} + \right. \\ &\quad \left. + \frac{1 - \zeta_o^2 + \delta_i\alpha - \alpha\delta_i\zeta_o^2}{(1 - \zeta\zeta_o)^2} \zeta - \frac{2\delta_i(1 - \zeta_o^2)\zeta}{(1 - \zeta\zeta_o)^3} \right]; \end{aligned} \quad (3)$$

$$\delta_o = \frac{\rho(\alpha - 1)(1 - \delta_i - \delta_e)\zeta_o}{2\pi(1 + \alpha)[2 + (\alpha - 1)(\delta_i + \delta_e)]}, \quad \rho = P_i/h.$$

При $\zeta_o = 1$ матимемо

$$\begin{aligned} z_3(\zeta) &= \frac{\rho}{4\pi\alpha\delta_i\delta_e(1+\alpha)} \left[A_i + B_i\zeta + \frac{\delta_i\alpha}{\zeta} \ln(1-\zeta) - \delta_i\zeta \ln(1-\zeta) - \right. \\ &\quad \left. - \frac{2\delta_i\delta_e\alpha\zeta}{(1-\zeta)^2} + \frac{(\alpha-1)\delta_e}{1-\zeta} \right]; \end{aligned} \quad (4)$$

$$\begin{aligned} z_4(\zeta) &= -\frac{\rho}{4\pi\delta_i\delta_e(1+\alpha)} \left[A_e + B_e\zeta + \frac{\delta_i\alpha}{\zeta} \ln(1-\zeta) - \delta_i\zeta \ln(1-\zeta) - \right. \\ &\quad \left. - \frac{2\delta_i\delta_e\alpha\zeta}{(1-\zeta)^2} - \frac{(\alpha-1)\delta_e}{1-\zeta} \right], \end{aligned}$$

$$\text{де } A_1 = \delta_1 + \delta_2(1-\alpha\epsilon) + \delta_1(\alpha\epsilon-1)(\delta_1 + \delta_2);$$

$$B_1 = \delta_1(1-2\delta_1 + \alpha\delta_1 + \alpha\epsilon\delta_2) + \delta_2(2\delta_1 - 1);$$

$$A_2 = \delta_1 - \delta_2(1-\alpha\epsilon) + \delta_1(\alpha\epsilon-1)(\delta_1 + \delta_2);$$

$$B_2 = \delta_1(1-2\delta_1 + \alpha\delta_1 + 3\alpha\epsilon\delta_2) - \delta_2(2\delta_1 - 1).$$

Для визначення функцій $\varPhi_{r_0}(S)$ і $\varPhi_{e_0}(S)$ що потрібно обчислити інтеграли типу

$$\int_0^S \frac{\zeta_1(t) dt}{t^{p_j+1}}, \quad \int_0^S \frac{\zeta_2(t) dt}{t^{p_j+1}}. \quad (5)$$

Якщо підставити функції (4) в формули (5), одержимо вирази типу

$$J_\kappa^j = S^\alpha \int_0^S \frac{t^{-\alpha} dt}{1-t}, \quad (6)$$

які не обчислюються в кінцевій формі. Тут α приймає значення p_j+1 або p_j-1 .

Для обчислення інтегралів (6) можна скористатися розкладом [2]

$$J_\kappa^j = J_{\kappa_1}^j + i J_{\kappa_2}^j = \sum_{n=1}^{\infty} \frac{S^n}{n^{-\alpha}}, \quad (7)$$

де

$$J_{\kappa_1}^j = \sum_{n=1}^{\infty} \frac{S^n (n - \alpha_{jk})}{(n - \alpha_{jk})^2 + \ell_j^2}; \quad J_{\kappa_2}^j = \ell_j \sum_{n=1}^{\infty} \frac{S^n}{(n - \alpha_{jk})^2 + \ell_j^2}; \quad (8)$$

$$p_j = \kappa_j + i \ell_j; \quad \alpha_{jk} = \kappa_j + \kappa - 1; \quad (\kappa = 0; 2); \quad J_m S = 0.$$

Нижче наводяться кінцеві формули для нормальніх напружень в точках дійсної осі Ox при $\alpha = 2$. (Дотичні напруження X_y в цих точках дорівнюють нулеві).

$$\frac{X_x + Y_x}{\rho} = \frac{2}{3\pi} \left\{ \frac{1}{x(t-x)} + \sum_{j=1}^4 \left[a_{ij} M'_{j1}(x) - b_{ij} M'_{j2}(x) \right] \right\}; \quad (9)$$

$$\begin{aligned} \frac{Y_y - X_x}{\rho} &= \frac{1}{3\pi} \left\{ -\frac{3}{x(t-x)} + (x - \frac{t}{x}) \sum_{j=1}^4 \left[a_{ij} M''_{j1}(x) - b_{ij} M''_{j2}(x) \right] - \right. \\ &\quad \left. - \frac{2}{x^2} \sum_{j=1}^4 \left[a_{2j} M'_{j1}(x) - b_{2j} M'_{j2}(x) \right] + \frac{t}{x^2} \sum_{j=1}^4 \left[(a_{2j} + a_{ij}) M'_{j1}(x) - (b_{2j} + b_{ij}) M'_{j2}(x) \right] \right\}. \end{aligned}$$

Tyr.

$$\begin{aligned} M'_{j1}(x) &= \frac{1}{2\delta_1\delta_2} \left\{ \left[A_1 \left(\frac{D_{jj}^i}{2} d'_1 - \frac{D_{jj}^z}{2} d'_3 \right) + A_2 \left(D_{ij}^z d'_1 - D_{ij}^i d'_3 \right) \right] x + \right. \\ &\quad \left. + \left[B_1 \left(\frac{D_{jj}^i}{2} d'_2 + \frac{D_{jj}^z}{2} d'_4 \right) - B_2 \left(D_{ij}^z d'_2 + D_{ij}^i d'_4 \right) \right] x^2 - \right. \\ &\quad \left. - \left(\frac{D_{jj}^z}{2} - D_{ij}^z \right) R_j(x) + \left(D_{ij}^i - \frac{D_{jj}^i}{2} \right) N_j(x) + T_j J_{21}' + L_j J_{22}' \right\}; \end{aligned} \quad (10)$$

$$\begin{aligned} M'_{j2}(x) &= \frac{1}{2\delta_1\delta_2} \left\{ \left[A_1 \left(\frac{D_{jj}^z}{2} d'_1 + \frac{D_{jj}^i}{2} d'_3 \right) - A_2 \left(D_{ij}^z d'_1 + D_{ij}^i d'_3 \right) \right] x + \right. \\ &\quad \left. + \left[B_1 \left(\frac{D_{jj}^z}{2} d'_2 - \frac{D_{jj}^i}{2} d'_4 \right) + B_2 \left(D_{ij}^i d'_2 - D_{ij}^z d'_4 \right) \right] x^2 - \right. \\ &\quad \left. - \left(\frac{D_{jj}^z}{2} - D_{ij}^z \right) N_j(x) - \left(D_{ij}^i - \frac{D_{jj}^i}{2} \right) R_j(x) + T_j J_{21}' - L_j J_{22}' \right\}; \end{aligned}$$

$$d'_1 = \frac{\ell_j}{\kappa_j^2 + \ell_j^2}, \quad d'_2 = \frac{\ell_j}{(1-\kappa_j)^2 + \ell_j^2}, \quad d'_3 = \frac{\kappa_j}{\kappa_j^2 + \ell_j^2},$$

$$d'_4 = \frac{1-\kappa_j}{(1-\kappa_j)^2 + \ell_j^2}, \quad d'_5 = \frac{\ell_j}{(\kappa_j+1)^2 + \ell_j^2}, \quad d'_6 = \frac{\kappa_j+1}{(\kappa_j+1)^2 + \ell_j^2};$$

$$\begin{aligned} T_j &= \left(\frac{D_{jj}^z}{2} + D_{ij}^z \right) \delta_2 - 2 \left(\frac{D_{jj}^z}{2} - D_{ij}^z \right) \left(\delta_1 d'_1 + 2\delta_1\delta_2\kappa_j \right) + \\ &\quad + 2\delta_1 \left(D_{ij}^i - \frac{D_{jj}^i}{2} \right) \left(2\delta_2\ell_j - d'_5 \right); \end{aligned}$$

$$L_j = \left(D_{ij}^i + \frac{D_{ij}^i}{2} \right) \delta_i + 2\delta_i \left(D_{ij}^i - \frac{D_{ij}^i}{2} \right) \left(d_s^j + 2\delta_s K_j \right) + \\ + 2\delta_i \left(\frac{D_{ij}^i}{2} - D_{ij}^i \right) \left(2\delta_s \ell_j - d_s^j \right);$$

$$N_j(x) = \delta_i \left\{ \left(x^2 d_s^j - 2d_s^j \right) \ln(1-x) + x^2 \left[d_s^j J_{os}^j + d_s^j J_{os}^j \right] \right\};$$

$$R_j(x) = \delta_i \left\{ \left(2d_s^j + x^2 d_s^j \right) \ln(1-x) + \frac{4\delta_s x}{1-x} + x^2 \left[d_s^j J_{os}^j - d_s^j J_{os}^j \right] \right\};$$

$$c_{ij} = a_{ij} + i b_{ij}, \quad D_{sj} = D_{sj}^k + i D_{sj}^i = \frac{D_{sj}^*}{D^*}, \quad (s=3,4).$$

Для обчислення напружень в точках $x > 0,5$, і зокрема при $x = 1$, необхідно виділити особливості у виразах (8).

$$\begin{aligned} J'_{os} &= \ell_j \cdot B_{ij}^K, \quad J'_{os} = \alpha_{jk} \cdot B_{ij}^K - (\alpha_{jk}^2 + \ell_j^2) B_{ej}^K - \ln(1-x); \\ B_{ij}^K &= (1+2\alpha_{jk}) [A_{ej}^K + D(x)] - (\alpha_{jk}^2 + \ell_j^2) A_{ij}^K + 1 + \frac{1-x}{x} \ln(1-x), \\ B_{ej}^K &= A_{ej}^K + D(x); \quad D(x) = \frac{3}{4x} - \frac{1}{6} - \frac{(1-x)^2}{2x^3} \ln(1-x) - \frac{1}{2x^2}; \end{aligned} \tag{11}$$

$$A_{ij}^K = \sum_{n=1}^{\infty} \frac{x^n}{n(n+1)[(n-\alpha_{jk})^2 + \ell_j^2]},$$

$$A_{ej}^K = \sum_{n=1}^{\infty} \frac{x^n [6 + n(5 + 2\alpha_{jk}) - (\alpha_{jk}^2 + \ell_j^2)]}{(n+1)(n+2)(n+3)[(n-\alpha_{jk})^2 + \ell_j^2]},$$

$$A_{ij}^K = \sum_{n=1}^{\infty} \frac{x^n \{ 6 + 2n^2(3 + \alpha_{jk}) + n[11 - (\alpha_{jk}^2 + \ell_j^2)] \}}{n(n+1)(n+2)(n+3)[(n-\alpha_{jk})^2 + \ell_j^2]}.$$

Це дає можливість визначити напруженій стан в точці $x = 1$ підкріпленого краю диска, де прикладена зосереджена сила. В цій точці вої напруження кінцеві при $\delta_1 \neq 0$ та $\delta_2 \neq 0$.

За допомогою ЕОМ "Мінськ-22" визначені напруження в точках дійсної осі для варіантів значень відносних жорсткостей ребра на розтяг (δ_1) та згин ($\delta_2 = \lambda \delta_1$), які наведені нижче.

Варіант	δ_1	λ	Варіант	δ_1	λ	Варіант	δ_1	λ
1	0,1	0,001	6	5	0,004	10	5	0,1
2	0,1	0,004	7	10	0,001	11	5	0,01
3	1	0,001	8	10	0,004	12	10	0,1
4	1	0,004	9	1	0,1	13	10	0,01
5	5	0,001						

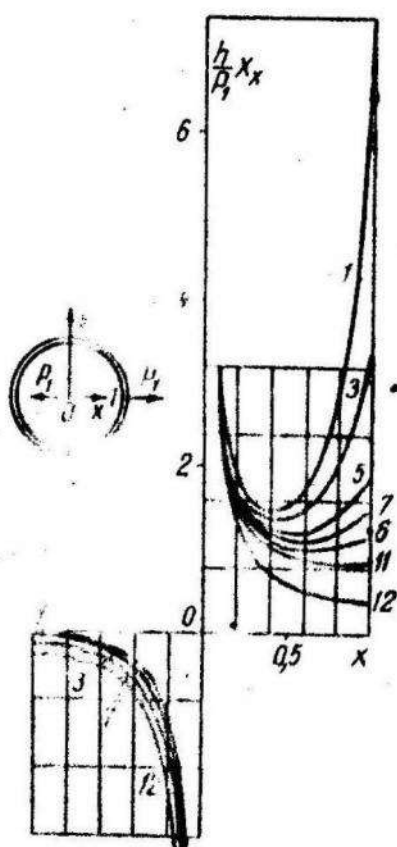


Рис. 1.

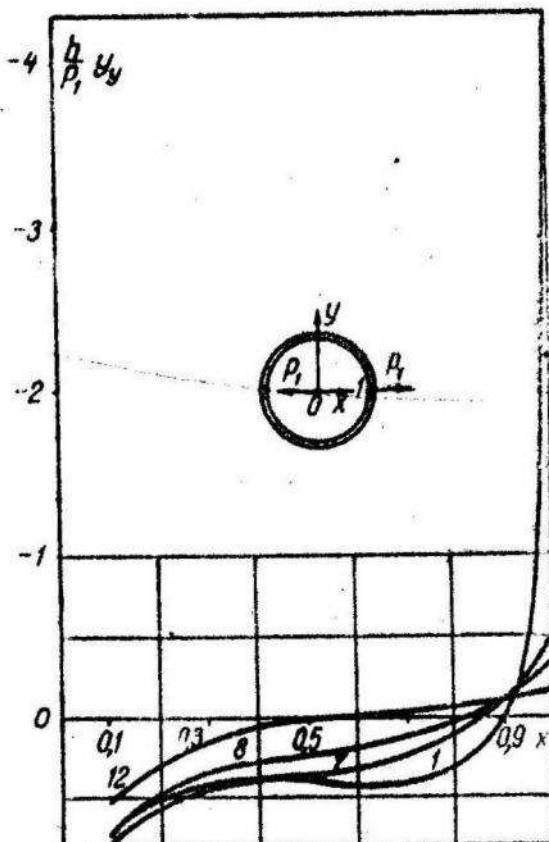


Рис. 2.

На рис. 1-2 побудовано графіки розподілу нормальних напружень вздовж дійсної осі диска в залежності від значень жорсткостей підкріплюючого ребра. (Номери кривих на рисунках відповідають варіантам). Порівняння цих результатів з прикладом статті [5], з якому не врахувалась жорсткість підкріплюючого ребра на згин, показує, що вплив величин δ_2 значний, тобто у розглядуваному випадку зосередженого навантаження на ребро не можна нехтувати його жорсткістю на згин.

Для непідкріпленого диска ($\delta_1 = \delta_2 = 0$) задача розв'язана в роботі [3]. У випадку $\xi_0 = 1$ в роботі [1] розв'язана задача для диска, край якого підкріплено широким пружним кільцем.

Методом накладання одержано розв'язок задачі про дію двох зосереджених сил, прикладених по краях диска з підкріпленим краєм. Результати обчислений напружень для такого диска зображені на рис. 3, 4.

Графіки на рис. 1-4 ілюструють вплив відповідних жорсткостей ребра на розподіл напружень в дискі.

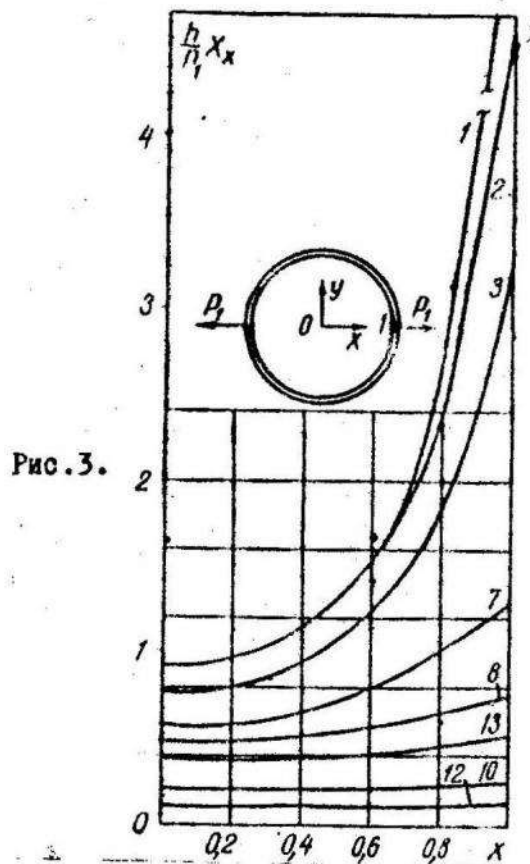


Рис. 3.

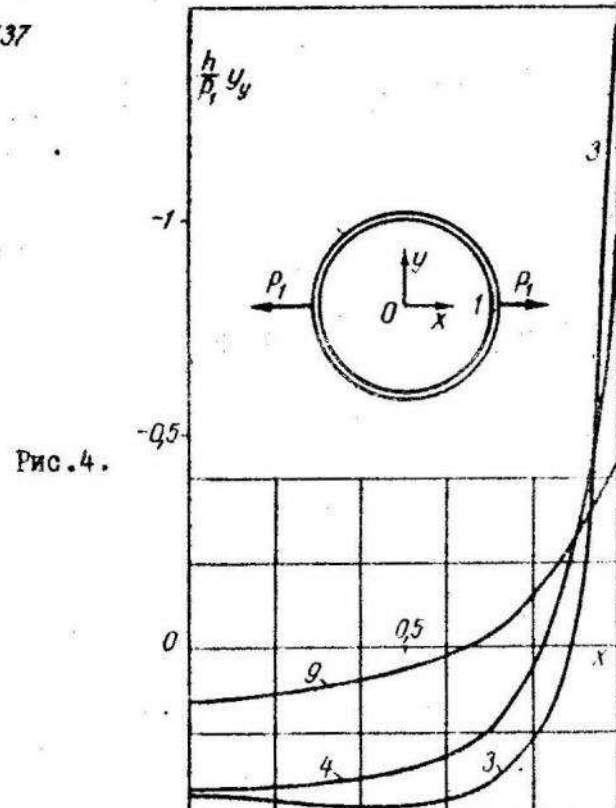


Рис. 4.

Література

1. Д. В. Вайнберг. Напряженное состояние составных дисков и пластин. Изд-во АН УССР, К., 1952.
2. Дайдерс, К. Фукую, Т. Фукую. Действие сосредоточенной силы вблизи гладкого кругового включения. Прикладная механика. Труды Американского общества инженеров-механиков, том 33, серия Е, № 4, 1966.
3. Н. И. Мусхелишивили. Некоторые основные задачи математической теории упругости. М., 1966.
4. Н. П. Флейшман, І. В. Старовийтенко. Пружна рівновага пластинки з підкріпленою круговою границею. Вісник Львів. ун-ту, сер. фіз., хім. і мех.-мат., 1968.
5. Н. П. Флейшман, І. В. Старовийтенко. Обобщенная граничная задача для пластинки с подкрепленным краем. Прикладная механика, т. 3, вып. 12, 1967.

—0—

УДК 583.3

І.О.МІШЕНКО, Т.Л.МАРТИНОВИЧ

ЗГИН КУСОЧНО-ОДНОРІДНОГО ЕЛІПТИЧНОГО КІЛЬЦЯ

Розглянемо тонку ізотропну плиту, серединна площа якої займає область S , обмежену двома співфокусними еліпсами L_1 та L_2 . Ця область співфокусним еліпсом L_0 розділяється на дві підобласті S_1, S_2 , що відповідають двом різним матеріалам. Надалі всі величини, які відносяться до області S_1 , будемо відмічати індексом "1", а величини, що відносяться до S_2 - індексом "2". На зовнішньому контурі L_1 діють рівномірно розподілені згинальні моменти інтенсивності M , а внутрішній контур плити L_2 або вільний від дії зовнішніх зусиль, або жорстко закріплений.